

گزینش برای تحمل به تنش خشکی بر اساس سیستم ریشه‌ای و آنزیم‌های آنتی‌اکسیدان در فسکیوی بلند

فاطمه پیرنجم الدین^۱، محمد‌مهدی مجیدی^{۲*}، مهدی قیصری^۳ و زهرا رادان^۴

^{۱، ۲، ۳ و ۴}. دانشجوی کارشناسی ارشد، دانشیار، استادیار و دانشجوی کارشناسی، دانشگاه صنعتی اصفهان

(تاریخ دریافت: ۱۳۹۳/۳/۹ - تاریخ تصویب: ۱۳۹۳/۶/۶)

چکیده

این پژوهش با هدف بررسی اثر تنش خشکی متوسط و شدید بر خصوصیات ریشه و برخی از آنزیم‌های آنتی‌اکسیدان و شناسایی ژنوتیپ‌های متحمل در گیاه فسکیوی بلند انجام گرفت. ۲۴ ژنوتیپ فسکیوی بلند در سه سطح تنش خشکی (شاهد، تنش خشکی متوسط و شدید) به صورت آزمایش فاکتوریل در سه تکرار بررسی شدند. کلونی ژنوتیپ‌ها در گلدانهای با ارتفاع ۶۰ و قطر ۱۶ سانتی‌متر کشت شدند. نتایج نشان داد که اثر تنش خشکی، ژنوتیپ و اثر متقابل آنها برای تمام صفات اندازه‌گیری شده، معنی دار بود. تحت شرایط تنش خشکی متوسط و شدید، عملکرد علوفه خشک، طول تجمعی و وزن خشک ریشه در مقایسه با حالت شاهد کاهش یافت. تنش خشکی شدید، نسبت ریشه به اندام هوایی را ۲۵ درصد افزایش داد. فعالیت آنزیم‌های کاتالاز و آسکوربات‌پراکسیداز در تنش خشکی شدید نسبت به حالت شاهد و تنش خشکی متوسط کاهش یافت، درحالی که فعالیت آنزیم پراکسیداز در این سطح تنش افزایش نشان داد. نتایج نشان داد که برخی از ژنوتیپ‌های فسکیوی بلند تحت شرایط تنش از عملکرد زیاد، و سیستم ریشه‌ای و آنتی‌اکسیدانی مطلوب برخوردارند که بیانگر وجود سازوکارهای تحمل و اجتناب از خشکی در این ژنوتیپ‌ها است و می‌توانند در مطالعات اصلاحی بعدی به کار گرفته شوند.

واژه‌های کلیدی: پراکسیداز، طول ریشه، عملکرد علوفه خشک، کاتالاز.

مخرب و زیان‌آوری بر مراحل مختلف رشد، ساختار و فعالیت‌های گیاه دارد. تنش خشکی عملکرد و کیفیت محصولات زراعی را نیز بهشت تحت تأثیر قرار می‌دهد (Reddy *et al.*, 2004).

در این زمان ترکیبی از عوامل فیزیکی و محیطی سبب تنش در داخل گیاه می‌شوند و به کاهش تولید می‌انجامند (Dacosta & Huang, 2006). با این حال گیاهان، ارگان‌های خاصی را برای بهره‌برداری از شرایط محیطی در اختیار دارند. ریشه گیاه یکی از مهم‌ترین ارگان‌هایی است که گیاه را به طور مستقیم در خاک نگه می‌دارند و جذب آب و مواد را بر عهده دارند (Rylski *et al.*, 1979 Troughton & Whittington, 1968) تأکید

مقدمه

از دیدگاه کشاورزی پایدار، گراس‌های علوفه‌ای ضمن اینکه از هدر رفتن حاصلخیزی خاک توسط عمل فرسایش جلوگیری می‌کنند، در تولید علوفه برای دام و متعاقب آن غذای پروتئینی انسان نیز اهمیت ویژه‌ای دارند (Jafari *et al.*, 2003). فسکیوی بلند با نام علمی (Festuca arundinacea) گیاهی چندساله از خانواده پوآسه (Poaceae) است که بیشتر در نواحی شمال و جنوب آمریکا کشت می‌شود و هر دو تنش گرما و خشکی را نسبت به دیگر گراس‌های علوفه‌ای سردسیر بهتر تحمل می‌کند (Carrow & Duncan, 2003). خشکی از مهم‌ترین تنش‌های محیطی است که آثار

گونه‌های فعال اکسیژن (ROS) نظیر رادیکال سوپراکسید (O_2^-)، پراکسید هیدروژن (H_2O_2)، رادیکال هیدروکسید (OH^-)، اکسیژن منفرد (O^{\cdot}) و رادیکال الکتروکسی منجر می‌شود (Chaudiere, 1999). جایگاه اصلی تولید ROS در سلول‌های گیاهی در هنگام مواجه شدن با تنفس‌های غیرزنده اندامک‌هایی با فعالیت متابولیسمی اکسیدکنندگی زیاد یا اندامک‌های دارای جریان قوى الکترون مانند کلروپلاست و میتوکندری است (Mittler, 2002). گیاهان برای مقابله با تنفس‌های اکسیداتیو ایجادشده از نظام دفاعی با کارایی زیاد برخوردارند که رادیکال‌های آزادشده را از بین می‌برند یا خنثی می‌کنند و بدین روش به توقف فرایند اکسایش منجر می‌شوند (Srivali *et al.*, 2003).

آنتری اکسیدان‌های آنزیمی شامل آسکوربات‌پراکسیداز، کاتالاز، پراکسیداز، سوپراکسید دسموتاز و گلوتاتیون ردوکتاز و دیگر مولکول‌های آنتی‌اکسیدانی مانند آلفاتوکوفرول، فلاونئید، کارتنئید و گلوتاتیون، عاملی اساسی در خنثی کردن فعالیت گونه‌های فعال اکسیژن Polle & Rennenberg, 1993; (Alscher *et al.*, 2002

کاتالاز به عنوان مهم‌ترین آنزیم آنتی‌اکسیدانی با تجزیه H_2O_2 به آب و اکسیژن به کاهش پراکسید هیدروژن منجر می‌شود (Vejovie *et al.*, 2001). آنزیم آسکوربات‌پراکسیداز قادر است به دلیل تمایل زیاد به H_2O_2 پراکسید هیدروژنی را که نمی‌تواند به مصرف کاتالاز برسد خنثی کند (Willekens *et al.*, 1995) و آنزیم پراکسیداز علاوه بر کاتالیز کردن هیدروژن پراکسید در گیاه، در سنتز دیواره سلولی و چوبی شدن آن عامل مهمی به شمار می‌رود (Breusegem *et al.*, 2002). مقدار آنتی‌اکسیدان‌ها با میزان تحمل به تنفس‌ها همبستگی دارد و هرچه فعالیت آنتی‌اکسیدان‌ها بیشتر باشد، خسارت به سلول ناشی از تنفس کمتر خواهد بود (Sairam *et al.*, 1990). (Sairam *et al.*, 1997) اظهار کردند که در شرایط تنفس خشکی فعالیت آنزیم پراکسیداز نسبت به شاهد در گندم افزایش یافت، به طوری که این میزان در ژنوتیپ‌های مقاوم به خشکی بیشتر بود. Maria *et al.* (2002) افزایش فعالیت آنزیم‌های آنتی‌اکسیدان کاتالاز و پراکسیداز را در برگ‌های یونجه تحت شرایط تنفس خشکی شدید گزارش کردند.

کردند که اطلاع در مورد رابطه بین الگوهای ریشه و عملکرد ضروری است. مقایس تعادل بین این دو بخش گیاه، نسبت ریشه به اندام هوایی است. این نسبت، بسته به نوع گیاه و مرحله رشد آن، رقم و شرایط رشد متفاوت است. مطالعات نشان می‌دهد که ویژگی‌های مورفولوژیک ریشه و رشد ریشه‌ها می‌تواند در مقاومت به تنفس خشکی تأثیر زیادی داشته باشد، زیرا افزایش رشد، طول و نفوذ ریشه، به افزایش جذب آب از اعماق خاک و حفظ Huang & Hongwen, (2000). برخی محققان افزایش سطح ریشه در شرایط تنفس خشکی را یکی از ویژگی‌های مهم جذب آب می‌دانند. جذب ممکن است در تمام گستره ریشه صورت بگیرد، اما به صورت فعال‌تر و بهتر در قسمت‌های جوان‌تر و Khalid, 2006; Farre & (2004) Bonos *et al.* نشان داد که انتخاب براساس تولید ریشه عمیق در گیاه فسکیوی بلند می‌تواند در بهبود تحمل به خشکی بسیار مؤثر باشد. همچنین مطالعات نشان داد که همبستگی مثبت و معنی‌داری بین رشد ریشه و تحمل بیشتر به خشکی وجود دارد (Burton *et al.*, 1954). گیاه فسکیوی نقره‌ای با داشتن ریشه عمیق و جذب آب از لایه‌های عمیق خاک می‌تواند کاهش فشار آب ناشی از تنفس خشکی را بدون کاهش سطح برگ جبران کند، در حالی که گراس‌های چمن خزندۀ در شرایط تنفس خشکی با کاهش سطح برگ و به دنبال آن کاهش تبخیر و تعرق می‌تواند مقاوم به خشکی باشد (Zhenhu *et al.*, 2001). تنفس اکسیداتیو به عنوان نوعی تنفس ثانویه در پی تنفس خشکی رخ می‌دهد (Chaves & Oliveira, 2004). قرارگیری گیاهان تحت تنفس خشکی به بسته شدن روزنه‌ها در گیاه در نتیجه کمبود آب و متعاقب آن کاهش غلظت CO_2 در بافت مزوپل می‌انجامد که در پی این وضعیت واکنش‌های تاریکی فتوسنتر مختل می‌شود و محصولات واکنش‌های روشنایی، که شامل ATP و NADPH است، مصرف نمی‌شود. در چنین شرایطی به دلیل عدم اکسید شدن مولکول NADPH، مصرف NADP⁺ جهت دریافت الکترون کاهش می‌یابد. بنابراین مولکول اکسیژن در مسیر زنجیره انتقال الکترون به عنوان پذیرنده جانشین الکترون عمل می‌کند و به شکل‌گیری

برای نگهداری آب سطحی خالی گذاشته شد. همه گلدان‌ها تا قبل از شروع اعمال تنش خشکی به طور یکسان آبیاری شدند و بعد از ۴۵ روز (استقرار) تحت تنش قرار گرفتند.

نحوه اعمال تنش خشکی

برای اعمال تنش خشکی و تخمین مقدار نیاز آبی چمن از داده‌های هواشناسی ایستگاه نجف‌آباد اصفهان و رابطه فائق-پنمن-مانتیث استفاده شد. تبخیر-تعرق گیاه فسکیوی بلند به صورت روزانه با استفاده از داده‌های هواشناسی و ضریب گیاهی فسکیوی بلند محاسبه شد (Allen *et al.*, 1998).

ET_0 تبخیر-تعرق پتانسیل یا مرجع (براساس داده‌های هواشناسی به صورت روزانه)، KC ضریب گیاهی فسکیوی بلند؛ و ET_i تبخیر-تعرق فسکیوی بلند است.

$$ET_i = K_c \times ET_0 \quad (1)$$

عمق آب آبیاری به شرح زیر محاسبه شد:

$$D_{irrg} = (\theta_{FC} - \theta_{PWP}) \times MAD \times Zr \quad (2)$$

در معادله بالا، Z_r عمق توسعه ریشه، θ_{FC} درصد رطوبت حجمی خاک در حد ظرفیت زراعی مزرعه؛ θ_{PWP} درصد رطوبت حجمی خاک در حد پژمردگی دائم؛ و MAD متوسط کسری از کل آب در دسترس که می‌تواند از عمق توسعه ریشه تخلیه شود بدون اینکه به گیاه تنشی وارد شود، است. سپس برای تعیین زمان آبیاری از مقدار تبخیر-تعرق گیاه فسکیوی بلند در فاصله بین دو آبیاری استفاده شد. به طوری که زمانی که $\sum ET_i$ برابر با عمق آب آبیاری (D_{irrg}) شد، تمام تیمارها آبیاری شدند و تیمار شاهد به اندازه D_{irrg} ، تیمار تنش D_{irrg} ملایم به اندازه $0.75 D_{irrg}$ و تیمار تنش شدید به اندازه $0.5 D_{irrg}$ آب دریافت کردند. حجم آب آبیاری از طریق حاصل ضرب، D_{irrg} (عمق آب آبیاری) برای هر تیمار در سطح گلدان محاسبه شد. با کنترل مقدار آب زهکشی شده از ته گلدان تیمارهای شاهد، از اجرای صحیح تیمارها اطمینان حاصل شد (Gheysari *et al.*, 2009).

صفات مورد بررسی در این تحقیق شامل مجموعه‌ای از صفات ریشه‌ای از جمله عمق نفوذ ریشه، طول تجمعی ریشه، سطح ریشه، وزن خشک ریشه، نسبت ریشه به اندام هوایی و برخی از آنژیمهای آنتی‌اکسیدانی شامل کاتالاز

مطالعات Ebrahimiyan *et al.* (2012)، نشان داد که تنوع ژنتیکی زیادی از نظر تحمل به تنش خشکی براساس خصوصیات فنوتیپی مزرعه و محاسبه شاخص‌های تحمل و حساسیت به خشکی بر مبنای عملکرد علوفه در بین ژنوتیپ‌های فسکیوی بلند وجود دارد. لیکن دانش ما در زمینه ارتباط بین تحمل به تنش خشکی ژنوتیپ‌های فسکیوی بلند و خصوصیات سیستم ریشه‌ای و آنتی‌اکسیدان محدود است. بنابراین این مطالعه با هدف بررسی سیستم ریشه‌ای و آنتی‌اکسیدانی برخی ژنوتیپ‌های فسکیوی بلند در شرایط عادی و تنش خشکی انجام گرفت تا ضمن آن بتوان در صورت تنوع ژنتیکی بین ژنوتیپ‌ها از نظر سیستم ریشه و آنتی‌اکسیدان، از این صفات در بهبود فسکیوی بلند برای تحمل به خشکی استفاده کرد.

مواد و روش‌ها

این پژوهش در سال زراعی ۱۳۹۱-۱۳۹۲ در مزرعه داخلی دانشگاه صنعتی اصفهان به صورت آزمایش فاکتوریل در قالب طرح کاملاً تصادفی در سه تکرار و سه سطح شاهد، تنش خشکی متوسط و شدید انجام گرفت. مواد ژنتیکی مورد استفاده در این تحقیق شامل ۲۴ ژنوتیپ فسکیوی بلند بودند (جدول ۱) که از بین ۷۵ ژنوتیپ فسکیوی بلند براساس ارزیابی سه‌ساله آنها در مزرعه از نظر شاخص‌های تحمل به تنش خشکی گزینش شدند (Ebrahimiyan *et al.*, 2012).

در اسفندماه ژنوتیپ‌ها به صورت کلونی تکثیر شدند، به طوری که هر بوته به چند قسمت مساوی تقسیم و در گلخانه نشا شد. سپس نشاها در لوله‌هایی از جنس پلی‌اتیلن به ارتفاع ۶۰ سانتی‌متر و قطر ۱۶ سانتی‌متر کشت شدند. به منظور زهکشی، انتهای گلدان‌ها با سنگریزه پوشش داده شد و گلدان‌ها با خاک تهیه شده (خاک زراعی و ماسه با نسبت ۲:۱) پر شد (جدول ۲). نحوه پر کردن گلدان‌ها به صورتی بود که در حین ریختن خاک درون آنها، تراکم خاک در عمق برای همه یکسان باشد. به همین دلیل این عملیات به صورت مرحله‌ای انجام گرفت به طوری که از ایجاد شکستگی در ستون خاک و منافذ در لایه‌های پایینی خاک جلوگیری شود. گلدان‌ها طوری پر شدند که ۱۰ سانتی‌متر بالای گلدان

سپس به نرمافزار Gia root برای دریافت صفات طول تجمعی ریشه و سطح ریشه منتقل شدند (Galkovskyi *et al.*, 2012).

پس از اسکن ریشه‌ها، ریشه هر تیمار به مدت ۴۸ ساعت درون آون با دمای ۷۵ درجه سانتی گراد قرار داده شد و وزن خشک آن با استفاده از ترازو (با دقت ۰/۰۱) اندازه‌گیری شد. بهمین روش عملکرد علوفه خشک نیز اندازه‌گیری شد. برای تجزیه و تحلیل داده‌ها، آزمون نرمال بودن آنها با استفاده از روش کولموگروف اسمیرنوف به کمک نرمافزار SPSS انجام گرفت. تجزیه واریانس و مقایسه میانگین‌ها به روش LSD در سطح احتمال ۵ درصد با استفاده از نرمافزار SAS انجام گرفت.

(Change & Maehly, 1955) آسکوربات پراکسیداز (Nakan & Asada, 1987) و پراکسیداز (Herzog & Fahimi, 1973) و عملکرد علوفه خشک بودند. پس از دو ماه اعمال تنش، برای اندازه‌گیری آنزیم‌ها از بافت برگ به مقدار ۰/۱ گرم استفاده شد. همچنین قسمت هوایی گیاهان برای تعیین عملکرد علوفه خشک برداشت شد. سپس برای اندازه‌گیری ویژگی‌های ریشه، ریشه‌ها از درون لوله‌های پلی‌اتیلن خارج شدند و ابتدا عمق نفوذ ریشه هر گیاه ثبت شد. ریشه‌ها پس از شستشو، به وسیله دستگاه اسکرر G3110 Hp Scanjet اسکن شدند. سپس تصاویر مربوط به ریشه‌های هر یک از تیمارها به نرمافزارهای Image و Photoshop به منظور رتوش شدن تصاویر و

جدول ۱. ژنتوتیپ‌های مورد مطالعه در بررسی تأثیر تنش خشکی در فسکیوی بلند

کد ژنتوتیپ	منشا	وضعیت گلدهی	کد ژنتوتیپ	منشا	وضعیت گلدهی	کد ژنتوتیپ	منشا	وضعیت گلدهی	کد ژنتوتیپ	منشا
1E	اصفهان- یزدآباد	اصفهان- یزدآباد	1M	زودرس	میانرس	2L	کهگیلویه و بویراحمد- یاسوج	کهگیلویه و بویراحمد- یاسوج	2E	کهگیلویه و بویراحمد- یاسوج
2E	کهگیلویه و بویراحمد- یاسوج	کهگیلویه و بویراحمد- یاسوج	3M	زودرس	میانرس	3L	کهگیلویه و بویراحمد- یاسوج	کهگیلویه و بویراحمد- یاسوج	3E	کهگیلویه و بویراحمد- یاسوج
3E	مجارستان	مجارستان	11M	زودرس	میانرس	6L	اصفهان- داران	اصفهان- داران	4E	اصفهان- مبارکه
4E	اصفهان- مبارکه	اصفهان- مبارکه	17M	زودرس	میانرس	7L	اصفهان- داران	اصفهان- داران	9E	اصفهان- بانک ژن فروه
9E	اصفهان- بانک ژن فروه	اصفهان- بانک ژن فروه	19M	زودرس	میانرس	12L	مجارستان	مجارستان	10E	آمریکا
10E	آمریکا	آمریکا	21M	زودرس	میانرس	15L	اصفهان- یزدآباد	اصفهان- یزدآباد	14E	مجارستان
14E	مجارستان	مجارستان	23M	زودرس	میانرس	20L	اصفهان- بانک ژن فروه	اصفهان- بانک ژن فروه	16E	اصفهان- بانک ژن فروه
16E	اصفهان- بانک ژن فروه	اصفهان- بانک ژن فروه	25M	زودرس	میانرس	25L	سمنان- شهرورد	سمنان- شهرورد		

جدول ۲. برخی ویژگی‌های فیزیکی- شیمیایی خاک

ρ _b (g/cm ³)	pH	EC(dS/m)	θ _{FC} (g/cm ³)	θ _{PWP} (g/cm ³)	بافت	رس(%)	شن(%)
۱/۴	۷/۹	۷/۴	۰/۱۲	۰/۲۲	لوم شنی	%۱۴	%۶۴

نتایج حاصل از مقایسه میانگین محیط‌های رطوبتی (شاهد، تنش خشکی متوسط و شدید) برای صفات ریشه و عملکرد علوفه خشک در جدول ۴ نشان داده شده است. عمق نفوذ ریشه در سطح تنش شدید نسبت به شاهد و تنش خشکی متوسط به طور معنی‌دار کاهش یافت. طول تجمعی ریشه از سطح شاهد به سطح تنش خشکی متوسط و شدید به ترتیب ۳/۹۰، ۱۹/۷۸ و ۱۹/۷۸ درصد کاهش یافت که نشان می‌دهد وجود رطوبت کافی و مناسب، رشد ریشه‌ها را افزایش می‌دهد و با فاصله از مقدار بهینه رطوبت، رشد ریشه کاهش می‌یابد. با کاهش رطوبت خاک، رشد ریشه به لایه‌های بالایی خاک محدود می‌شود و پیری زودرس در ریشه اتفاق می‌افتد.

نتایج و بحث

نتایج تجزیه واریانس صفات ریشه‌ای و عملکرد علوفه خشک ژنتوتیپ‌های فسکیوی بلند در جدول ۳ نشان داده شده است. همه صفات اندازه‌گیری شده به طور معنی‌داری تحت تأثیر تنش خشکی قرار گرفتند. بین ژنتوتیپ‌های مورد بررسی از نظر کلیه صفات مورد اندازه‌گیری تفاوت معنی‌داری مشاهده شد که بیانگر تنوع ژنتیکی در بین ژنتوتیپ‌ها از نظر این صفات است که می‌تواند در بهبود انتخاب مؤثر باشد. اثر متقابل تنش خشکی و ژنتوتیپ در همه صفات معنی‌دار شد که نشان‌دهنده عدم واکنش یکسان ژنتوتیپ‌ها در محیط‌های رطوبتی مختلف است.

Wang *et al.* (2009)، نیز نشان داد که تنش آبی به طور محسوسی سبب کاهش طول ریشه می‌شود.

که این شرایط سبب کاهش عمق نفوذ و طول تجمعی ریشه گیاه می‌شود (Asseng *et al.*, 1998). مطالعات

جدول ۳. میانگین مربعات صفات ریشه‌ای و عملکرد علوفه خشک، ۲۴ ژنوتیپ فسکیوی بلند در قالب طرح کاملاً تصادفی، آزمایش

فاکتوریل در سه سطح تنش خشکی

منابع تغییر	درجه آزادی	عمق ریشه	طول تجمعی ریشه	سطح ریشه	وزن خشک ریشه	نسبت ریشه به اندام هوایی خشک	عملکرد علوفه
تنش	۲	۴۷۷۳/۸۳**	۱۵۰۱۸۳۲۰۳**	۱۴۱۷۶۹۹/۱۱**	۲۶/۱۶**	.۰/۶۵**	۱۰/۳۲**
ژنوتیپ	۲۳	۳۶۹/۴۴**	۸۵۳۸۰۰۴۹**	۵۵۵۶۷۳/۵۷**	۱/۷۵**	.۰/۲۲**	.۰/۳۵**
تنش × ژنوتیپ	۴۶	۲۰/۵/۴۳**	۱۸۷۶۱۸۵۷**	۶۵۱۰۲/۰۳**	.۰/۰۹**	.۰/۰۳**	.۰/۵۹**
خطا	۱۴۴	۱۳/۵۱	۲۹۸۴۶۶	.۵۵۱۰/۸۰	.۰/۰۵	.۰/۰۰۱	.۰/۱۰

**: معنی‌داری در سطح احتمال ۱ درصد.

ریشه خواهد شد (Mehrvarz *et al.*, 2013). کاهش وزن خشک ریشه توسط Pand & Sing (1981) در تعدادی از گراس‌ها در شرایط تنش شدید رطوبتی نیز گزارش شده است. با پیشرفت تنش خشکی، مقدار کلروفیل و در نتیجه فتوسنتر در گیاه کاهش می‌یابد که این امر به کاهش مواد فتوسنتری رسیده به ریشه و در نتیجه وزن ریشه شاخص مناسی برای توجیه حد فعالیت یا جذب توسط ریشه نیست، زیرا ریشه‌های مویین در حالی که ممکن است فعال ترین بخش جذبی ریشه باشند، از نظر وزنی بخش ناچیزی از کل وزن ریشه را تشکیل می‌دهند؛ بنابراین لایه‌ای از خاک که بیشترین وزن ریشه را دارد الزاماً بیشترین جذب آب و مواد غذایی را ندارد (Farre & Faci, 2009).

با افزایش شدت تنش خشکی نسبت ریشه به اندام هوایی افزایش معنی‌داری نسبت به حالت شاهد و تنش متوسط نشان داد. تنش ابتدا از قسمت‌های هوایی گیاه شروع می‌شود و اندام هوایی بیش از ریشه‌ها در معرض تنش قرار دارد. بنابراین با افزایش تنش، رشد قسمت‌های هوایی بیش از ریشه‌ها کاهش می‌یابد که این به معنای کاهش نسبت وزن اندام هوایی به ریشه است Troughton & Whittington (Kmoch *et al.*, 1957) اظهار داشتند که نسبت زیاد ریشه به اندام هوایی در شرایط خشکی، موضوعی کاملاً اثبات شده است. آنها این موضوع را نوعی سازگاری تکاملی دانستند و اظهار داشتند با افزایش شدت تنش رطوبتی، اگرچه

برای صفت سطح ریشه در شرایط تنش خشکی متوسط نسبت به حالت شاهد و تنش خشکی شدید، افزایش معنی‌داری مشاهده شد. این نشان می‌دهد که مقدار مشخص تنش رطوبتی ممکن است موجب افزایش سطح ریشه شود، اما افزایش شدت تنش ممکن است سبب کاهش آن شود؛ این نیز می‌تواند مؤید مرگ ریشه‌ها در شرایط تنش شدید باشد. در شرایط تنش به دلیل جذب آب توسط ذرات خاک با نیروی مکش زیاد، باید سطح تماس ریشه با خاک افزایش یابد. در این صورت افزایش سطح ریشه در شرایط تنش توجیه شدنی است (Pirnajmedin *et al.* (Farre & Faci, 2009) (2013) در بررسی دوازده ژنوتیپ فسکیوی بلند تحت شرایط تنش رطوبتی گزارش کردند که سطح ریشه در عمقد ۳۰-۰ سانتی‌متر در حالت تنش متوسط نسبت به شاهد تغییر معنی‌داری نداشت، اما در عمقد ۳۰-۳۰ سانتی‌متر در شرایط تنش متوسط و شدید افزایش معنی‌داری نسبت به شاهد مشاهده شد. Oliver & Barber (1966) در پژوهش‌های خود بر روی گیاه سویا گزارش کردند که تنش آبی به طور محسوسی سبب کاهش سطح ریشه می‌شود.

وزن خشک ریشه در شرایط تنش خشکی متوسط ۳۹/۷۹ درصد و در شرایط تنش خشکی شدید ۱۴/۰ درصد نسبت به حالت شاهد کاهش یافت. محققان گزارش کردند که در اثر افزایش شدت استرس آبی، وزن خشک ریشه‌ها تقلیل می‌یابد. در حالی که یک کم‌آبیاری ملایم و محدود تا حدودی سبب افزایش وزن خشک

در سطح شاهد به ۴/۰۷ گرم در بوته در حالت تنش متوسط و ۲/۳۶ گرم در بوته در حالت تنش شدید رسید که به ترتیب ۱۴/۱۳ و ۵۰/۲۱ درصد کاهش نشان داد. کاهش تولید در گراس‌ها در اثر تنش خشکی به کاهش فتوسترن، فشار آماس، رشد سلولی و کاهش سطح یا لوله‌ای شدن برگ و نیز تولید و افزایش رادیکال‌های آزاد Jiang & Huang, 2001). در اکثر گراس‌ها کاهش بخش هوایی، سازوکاری مناسب برای سازگاری با شرایط تنش شدید خشکی است (Karcher *et al.*, 2007).

سرعت رشد ریشه‌ها کاهش می‌یابد، رشد ریشه نسبت به اندام هوایی گیاه کمتر تحت تأثیر قرار می‌گیرد؛ بنابراین نسبت ریشه به اندام هوایی افزایش خواهد یافت. افزایش نسبت وزن ریشه به ساقه در اثر تنش رطوبتی در پژوهش Guo *et al.* (2002) نیز گزارش شده است؛ بنابراین به نظر می‌رسد که فسکیوی بلند حتی در شرایط تنش شدید رطوبتی می‌تواند به رشد نمونه خود به ویژه در منطقه ریشه ادامه دهد و این نشان‌دهنده به کارگیری سازوکار اجتناب از خشکی در این گیاه است.

میانگین عملکرد علوفه خشک از ۴/۷۴ گرم در بوته

جدول ۴. مقایسه میانگین صفات ریشه‌ای و عملکرد علوفه خشک ژنتیپ‌های فسکیوی بلند در سه سطح تنش خشکی

سطح تنش	طول رفود ریشه (cm)	عمق نفوذ ریشه (cm)	سطح ریشه (cm ²)	وزن خشک (g)	نسبت ریشه به اندام هوایی	عملکرد علوفه خشک (g)
شاهد	۸۹/۰۹ ^a	۱۳۷۸/۱۱۴ ^a	۱۲۰/۳/۹۷ ^b	۲/۹۹ ^a	۰/۶۴ ^b	۴/۷۴ ^a
تنش متوسط	۸۹/۳۵ ^a	۱۳۲۴۳/۰۷ ^b	۱۲۴/۴/۸۳ ^a	۲/۵۷ ^b	۰/۶۴ ^b	۴/۰۷ ^b
تنش شدید	۷۵/۱۲ ^b	۱۱۰۵۴/۳۷ ^c	۹۸۳/۹۴ ^c	۱/۸۰ ^c	۰/۸۰ ^a	۲/۳۶ ^c

در هر ستون تیمارهایی که میانگین‌های آنها حداقل در یک حرف مشترک‌اند، اختلاف آماری معنی‌داری با یکدیگر ندارند.

بر سه گونه بنت گراس نشان داد که فعالیت آنزیم‌های کاتالاز و آسکوربات‌پراکسیداز با شدت یافتن خشکی در این سه گونه کاهش می‌یابد. این نتایج با نتایج آزمایش حاضر مطابقت دارد. آنها نیز دلیل کاهش فعالیت این آنزیم‌ها را کاهش سنتز پروتئین‌ها و افزایش پراکسیداسیون چربی‌ها دانستند.

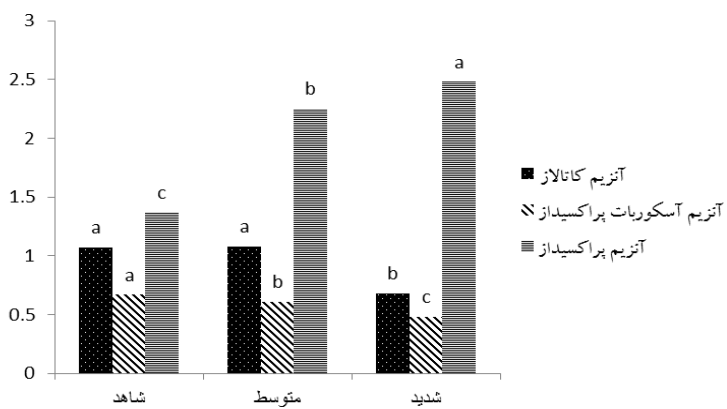
با وجود این، گزارش‌های متفاوتی در زمینه تغییرات فعالیت آنزیم‌های آنتی‌اکسیدانی در گیاهان وجود دارد، از جمله اینکه Fu & Huang (2001) گزارش کردند در *Festuca aurndinaceae* Schreb. (Jagtap & Bharagava, 1995) در دوره‌های طولانی مدت خشکی، فعالیت آنزیم‌های کاتالاز و پراکسیداز بدون تغییر می‌ماند.

افزایش فعالیت آنزیم پراکسیداز در اثر تنش خشکی Hojati *et al.* (2012) در علف گندمی، Tatari *et al.* (2011) در گلنگ و Jabari *et al.* (2006) در گندم (Zhang, 2001) از آنجا که تنش خشکی، گرما و ترکیب این دو در گراس‌ها افزایش می‌یابد، اما با طولانی شدن تنش، فعالیت این آنزیم‌ها کاهش پیدا می‌کند (Jiang & Huang, 2011).

نتایج مقایسه میانگین محیط‌های رطوبتی برای میزان فعالیت آنزیم‌های آنتی‌اکسیدان در شکل ۱ نشان داده شده است. در این مطالعه تنش خشکی شدید، فعالیت آنزیم کاتالاز و آسکوربات‌پراکسیداز را نسبت به حالت شاهد و تنش خشکی متوسط به طور معنی‌داری کاهش داد، در حالی که فعالیت آنزیم پراکسیداز در سطح تنش خشکی شدید نسبت به دو سطح شاهد و تنش خشکی متوسط افزایش معنی‌داری داشت. برخی محققان افزایش فعالیت آنزیم کاتالاز در واکنش به تنش خشکی را گزارش کردند (Li-Ping *et al.*, 2006). این آنزیم طی واکنش آنزیمی با زدودن انواع فعل اکسیژن و جلوگیری از تخریب دیواره سلولی به بقای گیاه کمک می‌کند (Jiang & Dacosta & Huang, 2007) در بررسی تأثیر تنش خشکی شدید خشکی کاهش می‌یابد، فعالیت آنزیم کاتالاز نیز در این شرایط کم می‌شود (Caruso *et al.*, 1999).

به همین دلیل در مطالعات مختلف تفاوت در نتایج به صورت کاهش یا افزایش فعالیت آنزیم‌ها مشاهده می‌شود (Chaitanya *et al.*, 2002).

شايان ذكر است که تحت شرایط تنش خشکی تولید ROS به شدت، مدت زمان تنش، گونه و ژنوتیپ گیاهی و نیز مرحله نموی گیاه در معرض تنش وابسته است؛



شکل ۱. مقایسه میانگین سه سطح تنش رطوبتی شاهد، تنش خشکی متوسط و شدید برای آنزیم‌های آنتی‌اکسیدان (برحسب میکرومول بر دقیقه بر میلی‌گرم پروتئین)

در سطح تنش خشکی متوسط ژنوتیپ ۲۳ میانرس و ۲ دیررس دارای بیشترین مقدار طول تجمعی ریشه و سطح ریشه بودند. همچنین ژنوتیپ ۲ دیررس از بیشترین وزن خشک ریشه و نسبت ریشه به اندام هوایی برخوردار بود. ژنوتیپ ۲ زودرس کمترین طول تجمعی ریشه، سطح ریشه، عملکرد علوفه خشک و آنزیم پراکسیداز را به خود اختصاص داد. بیشترین عملکرد علوفه خشک در ژنوتیپ ۲۱ میانرس مشاهده شد، گرچه ژنوتیپ‌های ۲۳ میانرس، ۷ دیررس، ۱ و ۱۶ زودرس از نظر این صفت با ژنوتیپ ۲۱ میانرس تفاوت معنی‌داری نداشتند. ژنوتیپ ۲۵ دیررس از بیشترین فعالیت آنزیم کاتالاز برخوردار بود، گرچه ژنوتیپ‌های ۲ دیررس و ۲۳ میانرس و برخی دیگر از ژنوتیپ‌ها با این ژنوتیپ از نظر این صفت تفاوت معنی‌داری نداشتند.

در سطح تنش خشکی شدید بیشترین طول تجمعی ریشه، سطح ریشه و وزن خشک ریشه در ژنوتیپ ۲ دیررس مشاهده شد. ژنوتیپ ۱۴ زودرس نیز دارای بیشترین وزن خشک ریشه و نسبت ریشه به اندام هوایی بود. ژنوتیپ ۲ زودرس دارای کمترین طول تجمعی ریشه، سطح ریشه، وزن خشک ریشه، نسبت ریشه به اندام هوایی و آنزیم کاتالاز بود. از نظر عملکرد علوفه خشک ژنوتیپ ۱۰ زودرس و ۷ دیررس بهترین بیشترین و کمترین مقدار را داشتند. ژنوتیپ‌های ۱

نتایج مقایسه میانگین ژنوتیپ‌ها در جدول‌های ۵ و ۷ نشان داده شده است. بین ژنوتیپ‌ها از نظر صفات مورد بررسی در هر سه سطح تنش رطوبتی تفاوت معنی‌داری مشاهده شد. در سطح شاهد ژنوتیپ‌های ۲۳ میانرس و ۲ دیررس از بیشترین و ۱۹ میانرس از کمترین طول تجمعی ریشه برخوردار بودند. بیشترین مقدار سطح ریشه در ژنوتیپ ۱۵ دیررس و کمترین مقدار آن در ژنوتیپ ۱۹ میانرس و ۲ زودرس مشاهده شد، در حالی که ژنوتیپ‌های ۲۳ میانرس، ۲ دیررس و ۷ دیررس از نظر این صفت با ژنوتیپ ۱۵ دیررس تفاوت معنی‌داری نداشتند. از نظر صفت وزن خشک ریشه و نسبت ریشه به اندام هوایی ژنوتیپ‌های ۲ دیررس و ۲۳ میانرس دارای بالاترین و ۳ میانرس دارای کمترین مقدار بودند. ژنوتیپ ۶ دیررس بیشترین و ۱۶ زودرس و ۱۲ دیررس کمترین مقدار عملکرد علوفه خشک را نشان دادند، ژنوتیپ‌های ۱۵، ۲۰، ۷ دیررس و ۹ و ۳ زودرس از لحاظ این صفت با ژنوتیپ ۶ دیررس تفاوت معنی‌داری نداشتند. ژنوتیپ ۶ دیررس بیشترین و ۳ میانرس و ۲ دیررس کمترین فعالیت آنزیم کاتالاز را به خود اختصاص دادند. ژنوتیپ ۷ دیررس و ۱۴ زودرس بهترین از بیشترین و کمترین فعالیت آنزیم آسکوربات پراکسیداز برخوردار بودند. بیشترین فعالیت آنزیم پراکسیداز در ۲۱ میانرس و کمترین آن در ۱ زودرس مشاهده شد.

این گیاه منجر می‌شود. برخی از محققان افزایش وزن ریشه در گراس‌ها تحت شرایط تنفس خشکی را یکی از مهم‌ترین سازوکارهای سازگاری بهمنظور بهبود کارایی جذب آب دانسته‌اند (Huang *et al.*, 1997).

تنفس خشکی ابتدا قسمت‌های هوایی گیاه را تحت تأثیر قرار می‌دهد و اندام هوایی بیش از ریشه‌ها در معرض تنفس قرار می‌گیرد، زیرا ریشه‌ها به علت نزدیکی به منبع آب و مواد غذایی اولین فرصت را برای استفاده از آب و مواد غذایی دارند. بنابراین در این صورت به نظر می‌رسد در شرایط تنفس خشکی شدید ژنوتیپ‌هایی با نسبت ریشه به اندام هوایی بیشتر یا دیگر خصوصیات ریشه‌ای برتر از سازوکار اجتناب از خشکی و بقای بهتری برخوردارند که این ویژگی ممکن است به افزایش Bonos *et al.*, (2004); Karcher *et al.*, 2008

زودرس، ۲، ۲۵ و ۱۲ دیررس و ۱، ۲۳ و ۱۱ میانرس از نظر عملکرد علوفه خشک با ۱۰ زودرس تفاوت معنی‌دار نداشتند. در صورت محدود بودن آب، تولید ریشه‌های عمیق برای گیاهان زراعی یک حسن بوده و سیستم ریشه‌ای عمیق و فعال یکی از خصوصیات مهم ژنوتیپ‌های متتحمل به خشکی است که این می‌تواند ناشی از نفوذ ریشه به عمق خاک برای جذب آب و اجتناب از خشکی باشد (Khazaie & Kafi, Torbert *et al.*, 1990). در بررسی ارقام گندم تحت شرایط تنفس خشکی گزارش کردند که ارقام مقاوم به خشکی از سطح برگ کمتر، و طول ریشه، وزن خشک ریشه و نسبت ریشه به اندام هوایی بیشتری در مقایسه با ارقام حساس برخوردارند. همچنین مشاهدات Ervin & Koski (1998) نشان داد که مجموع طول، عمق و گستردگی ریشه‌های تولیدشده در فسکیوی بلند، به افزایش تحمل و اجتناب از خشکی در

جدول ۵. مقایسه میانگین ژنوتیپ‌های فسکیوی بلند برای برخی از صفات ریشه‌ای تحت شرایط شاهد، تنفس متوسط و تنفس شدید

ژنوتیپ‌ها	طول تجمعی ریشه (cm)	سطح ریشه ریشه (cm ²)	وزن خشک ریشه (g)	شاهد			
				تنفس خشکی شدید	تنفس متوسط	تنفس شاهد	
میانرس	۱۳۲۵۷/۵ ^{fg}	۱۲۲۱/۷۲ ^{f-h}	۱۲۷۹/۵ ^{fg}	طول تجمعی ریشه (cm)	سطح ریشه ریشه (cm ²)	وزن خشک ریشه (g)	تنفس خشکی شدید
۱	۱۲۷۹ ^{f-h}	۱۲۲۱/۷۲ ^{f-h}	۱۲۷۹/۵ ^{fg}	۶۱۶/۶۹	۶۲۹۹/۳ ^{mn}	۸۷۹/۲۹ ^{mn}	۲/۲۳ ^h
۳	۱۰۷۵/۶۹ ^{g-i}	۱۰۵۳۷/۱ ^{ij}	۱۲۰/۹/۶۵ ^{ij}	۲/۲۷ ^{f-h}	۱۲۰/۹/۶۵ ^{ij}	۱۱۷۴۰/۰ ^{hi}	۱/۹۷ ^{c-f}
۱۱	۱۰۸۱/۱۵ ^{cd}	۱۲۳۱۴/۷ ^{de}	۱۴۱/۰/۶۱ ^{e-g}	۲/۷۷ ^{de}	۱۶۴۴۵/۹ ^{cd}	۲/۸۰ ^{f-h}	۱/۹۷ ^{c-f}
۱۷	۱۱۳۳/۷۵ ^{cd}	۱۲۷۷۴/۴ ^d	۱۲۹۱/۵۳ ^{hi}	۲/۹۳ ^{b-e}	۱۷۸۳۷/۴ ^b	۳/۴۳ ^{b-d}	۱/۹۰ ^{d-g}
۱۹	۶۴۳/۷۱ ^j	۶۹۳۳/۱ ^m	۸۸۵/۳۴ ^{mn}	۲/۱۱ ^{hi}	۹۷۰/۳/۵ ^k	۲/۴۴ ^{h-j}	۱/۰۷ ^k
۲۱	۸۶۲/۴۲ ^{hi}	۸۹۵۵/۵ ^l	۱۵۵۸/۵۷ ^{cd}	۲/۷۴ ^{d-f}	۱۲۸۵۷/۴ ^{fg}	۳/۰۷ ^{d-g}	۱/۴۱ ^{ij}
۲۳	۸۷۱/۲۳ ^{hi}	۱۰۷۱۵/۰ ^{h-j}	۱۶۸۱/۶۶ ^{ab}	۲/۹۵ ^{b-e}	۲۰۱۱۹/۳ ^a	۳/۹۳ ^{ab}	۱/۷۷ ^{fg}
۲۵	۱۲۶۶/۱۲ ^b	۹۵۸۲/۱ ^{kl}	۱۶۰۳/۹۸ ^{bc}	۲/۶۹ ^{d-f}	۱۷۴۴۹/۴ ^b	۳/۰۰ ^{d-g}	۲/۳۴ ^b
۱	۱۳۱۴/۹۱ ^{d-f}	۱۳۷۴/۴۶ ^{gh}	۱۷۰۹۷/۷ ^{bc}	۲/۶۷ ^{e-g}	۱۷۲۹۶/۷ ^d	۳/۴۳ ^{b-d}	۱/۴۵ ^{hi}
۲	۴۹۲/۹۵ ^k	۵۹۳۱/۴ ⁿ	۷۶۲/۴۰ ^o	۲/۱۶ ^{hi}	۸۲۴۰/۴ ⁱ	۱/۹۳ ^{jk}	۱/۰۴ ^k
۳	۸۹۷/۳۶ ^{g-i}	۹۹۵۷/۳ ^{jk}	۱۲۱۴۷/۴ ^{gh}	۲/۱۲ ^{hi}	۱۰۳۶/۲۰ ^{kl}	۳/۴۹ ^{b-d}	۱/۶۸ ^{gh}
۴	۸۱۵/۷۴ ⁱ	۸۹۷۰/۰ ^l	۹۷۸/۹۱ ^{lm}	۲/۱۵ ^{hi}	۸۶۳۶/۶ ^l	۲/۵۸ ^{g-i}	۱/۴۱ ^{ij}
۹	۸۶۴/۷۶ ^{hi}	۱۰۹۹۲/۸ ^{g-i}	۸۳۴/۳۷ ^{no}	۱/۸۲ ⁱ	۹۹۲۴/۸ ^k	۲/۵۴ ^{g-i}	۱/۷۷ ^g
۱۰	۱۰۴۱/۴۲ ^{d-f}	۱۱۷۴۲/۷ ^{e-g}	۱۰۴۶/۰ ^{kl}	۲/۲۷ ^h	۱۰۴۳/۰ ^{jk}	۲۰/۰۵ ^{i-k}	۱/۷۹ ^{fg}
۱۴	۱۱۳۷/۲۹ ^{cd}	۱۱۳۴۷/۳ ⁱ	۱۴۹۹/۱۷ ^{c-f}	۲/۱۴ ^{bc}	۱۷۵۹۶/۴ ^b	۲/۸۸ ^{e-h}	۲/۶۸ ^a
۱۶	۸۰۴/۷۰ ⁱ	۹۵۶۳/۴ ^{kl}	۱۰۱۷/۵۰ ^{kl}	۲/۲۹ ^h	۱۵۹۴۷/۱ ^d	۲/۸۹ ^{f-h}	۱/۳۷ ^{ij}
۲	۱۶۱۸/۹۴ ^a	۲۰۴۶۷/۴ ^a	۱۷۵۱/۲۲ ^a	۳/۸۸ ^a	۲۱۰۷/۲۲ ^a	۴/۴۴ ^a	۲/۸۷ ^a
۳	۱۱۲۷/۶۱ ^{cd}	۱۴۴۳۳/۵ ^c	۱۲۰/۱/۸۴ ^{ij}	۲/۲۵ ^h	۱۳۲۶۹/۰ ^f	۳/۲۰ ^{c-f}	۱/۸۱ ^{e-g}
۶	۱۱۸۹۹/۲ ^{ef}	۱۳۹۶/۰ ^{f-h}	۱۰۱۱/۱ ^{jk}	۱/۸۳ ⁱ	۱۰۱۱/۱ ^{jk}	۲/۹۸ ^{b-d}	۱/۷۷ ^{fg}
۷	۱۱۳۸۴/۳ ^{f-h}	۱۱۳۸۴/۳ ^{f-h}	۱۵۰/۷/۳۸ ^{c-e}	۳/۱۷ ^b	۱۴۷۷۰/۰ ^e	۳/۶۷ ^{bc}	۱/۹۹ ^{c-f}
۱۲	۱۱۲۶۲/۷ ^{ij}	۱۱۲۶۲/۷ ^{ij}	۱۱۰/۴/۹۸ ^{jk}	۲/۷۷ ^{de}	۱۲۷۱۴/۶ ^{fg}	۲/۳۵ ^{c-e}	۱/۸۱ ^{e-g}
۱۵	۱۶۲۵۴/۱۸ ^b	۱۶۲۵۴/۸ ^b	۱۴۶۹/۶۶ ^{dg}	۲/۷۹ ^{c-e}	۱۱۰/۱/۹ ^{ji}	۳/۴۸ ^{b-d}	۲/۲۰ ^{b-c}
۲۰	۱۰۶۶۲/۰ ^{h-j}	۱۰۶۶۲/۰ ^{h-j}	۱۵۱/۱/۳۰ ^{c-e}	۳/۰۴ ^{b-d}	۸۱۳۷/۸ ^l	۲/۸۱ ^{f-h}	۲/۰۵ ^{c-e}
۲۵	۹۴۱/۰۰ ^{f-h}	۱۱۲۴۸/۶ ^{f-i}	۸۶۳/۷۸ ^{no}	۲/۴۰ ^{f-h}	۱۲۸۱۲/۲ ^{fg}	۲/۸۱ ^{f-h}	۲/۱۴ ^{b-d}

در هر ستون و برای هر تنفس تیمارهای که میانگین‌های آنها حداقل در یک حرف مشترک‌اند اختلاف معنی‌داری با یکدیگر ندارند (LSD=۰/۰۵).

جدول ۶. مقایسه میانگین ژنوتیپ‌های فسکیوی بلند برای برخی از صفات ریشه‌ای تحت شرایط شاهد، تنش متوسط و تنش شدید

ژنوتیپ‌ها	شاهد					
	تنش خشکی متواتر	تنش خشکی شدید	نسبت ریشه به اندام	عملکرد علوفه	نسبت ریشه به اندام	نسبت ریشه به اندام
	خشک (g)	هوایی	خشک (g)	هوایی	خشک (g)	هوایی
۱ میانرس	۲/۵۹ ^{a-c}	۰/۴۴ ^{kl}	۳/۹۴ ^{d-g}	۰/۵۴ ^{lm}	۴/۲۴ ^{hi}	۰/۵۸ ^g
۳ میانرس	۲/۴۳ ^{c-e}	۰/۶۴ ^{hi}	۴/۲۱ ^{b-e}	۰/۴۸ ⁿ	۴/۸۴ ^{b-g}	۰/۳۴ ^j
۱۱ میانرس	۲/۶۸ ^{a-c}	۰/۷۶ ^{e-g}	۴/۳۷ ^{b-e}	۰/۶۴ ^{f-h}	۴/۸۴ ^{b-h}	۰/۶۵ ^{d-f}
۱۷ میانرس	۱/۸۰ ^{ij}	۱/۱۳ ^c	۴/۱۲ ^{b-f}	۰/۷۱ ^{de}	۴/۶۴ ^{c-i}	۰/۷۴ ^{bc}
۱۹ میانرس	۲/۰۵ ^{f-i}	۰/۵۶ ^{ij}	۳/۲۷ ^h	۰/۶۱ ^{h-k}	۴/۹۳ ^{b-f}	۰/۴۴ ^h
۲۱ میانرس	۲/۰۵ ^{f-i}	۰/۵۱ ^{ik}	۴/۹۵ ^a	۰/۶۹ ^{d-f}	۴/۳۱ ^{f-i}	۰/۷۱ ^{c-d}
۲۳ میانرس	۲/۶۹ ^{a-c}	۰/۶۴ ^{hi}	۴/۵۵ ^{a-c}	۰/۶۷ ^{efg}	۴/۶۰ ^{d-i}	۰/۹۱ ^a
۲۵ میانرس	۲/۴۹ ^{b-e}	۰/۹۲ ^d	۴/۰۷ ^{c-g}	۰/۷۴ ^{cd}	۴/۸۶ ^{b-h}	۰/۷۰ ^{cd}
۱ زودرس	۲/۸۲ ^{ab}	۰/۵۶ ^{ij}	۴/۶۷ ^{ab}	۰/۶۳ ^{g-j}	۴/۵۲ ^{e-i}	۰/۷۷ ^b
۲ زودرس	۲/۰۴ ^{ghi}	۰/۳۹ ^l	۳/۲۳ ^h	۰/۵۴ ^{lm}	۴/۲۰ ^{hi}	۰/۳۷ ^{ij}
۳ زودرس	۲/۴۳ ^{c-e}	۰/۷۵ ^{e-g}	۴/۰۲ ^{c-g}	۰/۵۸ ^{i-l}	۵/۱۸ ^{a-d}	۰/۷۰ ^{cd}
۴ زودرس	۱/۹۶ ^{f-i}	۰/۸۹ ^d	۳/۸۶ ^{e-g}	۰/۵۲ ^{mn}	۴/۴۵ ^{e-i}	۰/۶۲ ^{fg}
۹ زودرس	۲/۱۹ ^{d-g}	۰/۶۳ ^{hi}	۳/۹۴ ^{d-g}	۰/۴۹ ⁿ	۴/۹۸ ^{a-e}	۰/۵۸ ^g
۱۰ زودرس	۲/۸۸ ^a	۰/۶۴ ^{hi}	۴/۳۷ ^{b-e}	۰/۵۱ ^{mn}	۴/۴۴ ^{e-i}	۰/۴۲ ^{hi}
۱۴ زودرس	۱/۸۲ ^{h-j}	۱/۹۳ ^a	۳/۹۶ ^{d-g}	۰/۸۴ ^b	۴/۲۶ ^{g-i}	۰/۵۸ ^g
۱۶ زودرس	۲/۳۹ ^{c-f}	۰/۶۸ ^{gh}	۴/۴۳ ^{a-d}	۰/۵۶ ^{k-m}	۴/۱۶ ⁱ	۰/۶۹ ^{cd}
۲ دیررس	۲/۶۹ ^{a-c}	۱/۱۰ ^c	۴/۳۳ ^{b-e}	۱/۰۲ ^a	۴/۷۶ ^{b-i}	۰/۸۸ ^a
۳ دیررس	۲/۵۰ ^{b-e}	۰/۷۵ ^{e-g}	۴/۳۳ ^{b-e}	۰/۶۱ ^{h-k}	۴/۴۷ ^{e-i}	۰/۷۴ ^{bc}
۶ دیررس	۲/۱۶ ^{e-h}	۰/۸۴ ^{de}	۳/۵۴ ^{gh}	۰/۵۲ ^{mn}	۵/۶۰ ^a	۰/۵۸ ^g
۷ دیررس	۱/۴۸ ^j	۱/۲۸ ^b	۴/۵۷ ^{a-c}	۰/۶۸ ^{d-g}	۵/۲۴ ^{a-c}	۰/۷۰ ^{cd}
۱۲ دیررس	۲/۸۳ ^{ab}	۰/۷۲ ^{f-h}	۳/۱۰ ^h	۰/۷۹ ^c	۴/۱۷ ⁱ	۰/۶۸ ^{d-f}
۱۵ دیررس	۲/۰۵ ^{g-i}	۰/۹۰ ^d	۳/۵۸ ^{f-h}	۰/۶۴ ⁱ	۵/۲۴ ^{a-c}	۰/۶۹ ^{c-e}
۲۰ دیررس	۲/۴۵ ^{c-e}	۰/۷۹ ^{ef}	۴/۱۹ ^{b-e}	۰/۷۲ ^{de}	۵/۲۹ ^{ab}	۰/۶۳ ^{e-g}
۲۵ دیررس	۲/۶۹ ^{a-c}	۰/۸۳ ^{de}	۳/۹۹ ^{d-g}	۰/۵۹ ^{i-l}	۴/۵۰ ^{e-i}	۰/۵۹ ^g

در هر ستون و برای هر تنش تیمارهایی که میانگین‌های آنها حداقل در یک حرف مشترک‌اند اختلاف معنی‌داری با یکدیگر ندارند (LSD = ۰/۰۵).

Sairam *et al.*, آنتی‌اکسیدان‌های آنزیمی در گیاهان است (1990). همچنین در مطالعات مختلف گزارش شده است که سطح فعالیت آنزیم‌های آنتی‌اکسیدان با مقاومت به خشکی در برخی گونه‌ها رابطه مستقیمی داشته است و مقاومت به تنش خشکی با حفظ یا افزایش فعالیت آنزیم‌های آنتی‌اکسیدان در گونه‌های گیاهی مختلف همراه است (Dacosta & Huang, 2007).

براساس نتایج پژوهش حاضر نیز به نظر می‌رسد افزایش فعالیت آنزیم پراکسیداز و کاتالاز در برخی از ژنوتیپ‌های فسکیوی بلند تحت شرایط تنش خشکی تا حد ممکن از آثار زیانبار انواع اکسیژن فعلی بر غشای سلولی جلوگیری می‌کند و به تحمل به خشکی گیاه در این شرایط منجر می‌شود.

ژنوتیپ‌های ۲۵ دیررس و ۱۰ زودرس از بیشترین فعالیت آنزیم کاتالاز برخوردار بودند. ژنوتیپ ۱ زودرس دارای بیشترین فعالیت آنزیم آسکوربیات‌پراکسیداز و ژنوتیپ ۲۱ میانرس دارای بیشترین فعالیت آنزیم پراکسیداز بودند. ژنوتیپ‌های ۴ زودرس و ۳ دیررس به ترتیب کمترین فعالیت آنزیم آسکوربیات‌پراکسیداز و پراکسیداز را داشتند. Siosemardeh (2002)، گزارش کرد که در شرایط تنش خشکی فعالیت آنزیم پراکسیداز در ارقام مقاوم گندم افزایش می‌یابد. آنها همچنین بین فعالیت آنزیم پراکسیداز در شرایط تنش و عملکرد همبستگی مثبتی را گزارش کردند. نتایج تحقیقات مختلف حاکی از ارتباط قوی بین تحمل به تنش‌های اکسیداتیو ناشی از تنش‌های محیطی و افزایش غلظت

جدول ۷. مقایسه میانگین ژنوتیپ‌های فسکیوی بلند برای برش خشکی متوسط و تنش شدید

ژنوتیپ‌ها	شاهد				تش خشکی متوسط				تش خشکی شدید			
	آنزیم آسکوربات پراکسیداز		آنزیم آسکوربات پراکسیداز		آنزیم آسکوربات پراکسیداز		آنزیم آسکوربات پراکسیداز		آنزیم آسکوربات پراکسیداز		آنزیم آسکوربات پراکسیداز	
	آنزیم کاتالاز	($\mu\text{mol min}^{-1} \text{mg}^{-1}$ protein)	آنزیم کاتالاز	($\mu\text{mol min}^{-1} \text{mg}^{-1}$ protein)	آنزیم کاتالاز	($\mu\text{mol min}^{-1} \text{mg}^{-1}$ protein)	آنزیم کاتالاز	($\mu\text{mol min}^{-1} \text{mg}^{-1}$ protein)	آنزیم کاتالاز	($\mu\text{mol min}^{-1} \text{mg}^{-1}$ protein)	آنزیم کاتالاز	($\mu\text{mol min}^{-1} \text{mg}^{-1}$ protein)
۱ میانرس	۰/۹۱ ^{ab}	۰/۷۸ ^{f-h}	۰/۲۳ ^{ef}	۰/۵۲ ^{gh-k}	۱/۸۱ ^{e-i}	۰/۸۸ ^b	۱/۰ ^{a-f}	۱/۱۸ ^{d-h}	۰/۹۱ ^{ab}	۰/۷۸ ^{f-h}	۰/۲۳ ^{ef}	۰/۵۲ ^{gh-k}
۳ میانرس	۰/۴۶ ^{de}	۰/۱۸ ⁱ	۰/۳۹ ^{d-f}	۰/۲۳ ^{kl}	۱/۶۱ ^{g-i}	۰/۴۵ ^{d-h}	۰/۹۱ ^{b-f}	۰/۸۲ ^{hi}	۰/۴۶ ^{de}	۰/۱۸ ⁱ	۰/۳۹ ^{d-f}	۰/۲۳ ^{kl}
۱۱ میانرس	۰/۵۸ ^c	۰/۸۰ ^{f-h}	۰/۳۲ ^{d-f}	۰/۴۸ ^{g-k}	۲/۷۷ ^{b-d}	۰/۴۸ ^{d-h}	۱/۱۰ ^{b-f}	۱/۶۲ ^{b-e}	۰/۵۸ ^c	۰/۸۰ ^{f-h}	۰/۳۲ ^{d-f}	۰/۴۸ ^{g-k}
۱۷ میانرس	۰/۸۴ ^{a-d}	۰/۷۰ ^{gh}	۰/۳۴ ^{d-f}	۰/۶۳ ^{e-j}	۲/۳۵ ^{c-g}	۰/۷۲ ^{c-f}	۱/۰ ^{b-f}	۰/۹۴ ^{gh}	۰/۸۴ ^{a-d}	۰/۷۰ ^{gh}	۰/۳۴ ^{d-f}	۰/۶۳ ^{e-j}
۱۹ میانرس	۱/۹۷ ^{bc}	۰/۶۸ ^{gh}	۰/۸۹ ^{b-f}	۰/۳۷ ^{d-f}	۱/۳۵ ^{hi}	۰/۴۰ ^{f-h}	۱/۱۶ ^{a-f}	۰/۹۹ ^{gh}	۰/۶۱ ^{de}	۱/۹۷ ^{bc}	۰/۸۹ ^{b-f}	۰/۳۷ ^{d-f}
۲۱ میانرس	۰/۶۸ ^{gh}	۰/۶۸ ^{gh}	۰/۴۰ ^a	۰/۵۸ ^{cd}	۲/۴۸ ^{b-f}	۰/۷۳ ^{b-e}	۰/۶۴ ^{d-f}	۲/۴۴ ^a	۰/۶۱ ^{de}	۰/۶۸ ^{gh}	۰/۴۰ ^a	۰/۵۸ ^{cd}
۲۳ میانرس	۰/۹۰ ^{c-h}	۰/۶۴ ^{c-e}	۰/۹۸ ^{b-f}	۰/۴۱ ^{d-f}	۰/۹۳ ^{c-f}	۲/۲۶ ^{c-g}	۰/۵۴ ^{c-g}	۱/۲۳ ^{a-e}	۰/۶۴ ^{c-e}	۰/۹۰ ^{c-h}	۰/۹۸ ^{b-f}	۰/۴۱ ^{d-f}
۲۵ میانرس	۰/۱۴ ^{ab}	۰/۲۴ ^{d-f}	۰/۲۵ ^{c-g}	۰/۶۰ ^{f-j}	۲/۰۸ ^{d-h}	۰/۸۸ ^b	۱/۲۶ ^{a-d}	۱/۹۶ ^{a-c}	۰/۸۸ ^{a-c}	۰/۱۴ ^{ab}	۰/۲۵ ^{c-g}	۰/۶۰ ^{f-j}
۱ زودرس	۰/۲۳ ^{c-d}	۰/۶۵ ^{ab}	۰/۱۳ ^a	۰/۵۶ ^{g-k}	۱/۸۴ ^{e-i}	۰/۳۱ ^{gh}	۱/۳۰ ^{a-c}	۰/۱۹ ^j	۰/۶۶ ^{b-e}	۱/۲۳ ^{c-d}	۰/۶۵ ^{ab}	۰/۱۳ ^a
۲ زودرس	۰/۵۸ ^{hi}	۰/۵۸ ^{cd}	۰/۶۳ ^{b-f}	۰/۵۸ ^{cd}	۱/۲۱ ⁱ	۰/۲۸ ^{gh}	۱/۱۶ ^{a-f}	۰/۳۹ ^{ij}	۰/۶۶ ^{b-e}	۰/۵۸ ^{hi}	۰/۵۸ ^{cd}	۰/۶۳ ^{b-f}
۳ زودرس	۰/۳۱ ^{de}	۰/۹۳ ^{d-g}	۰/۲۹ ^{ef}	۱/۱۴ ^{bc}	۲/۲۳ ^{d-g}	۰/۷۵ ^{b-e}	۱/۱۶ ^{a-f}	۰/۷۸ ^{hi}	۰/۶۶ ^{b-e}	۰/۳۱ ^{de}	۰/۹۳ ^{d-g}	۰/۲۹ ^{ef}
۴ زودرس	۰/۶۷ ^{a-e}	۰/۴۶ ^{b-f}	۰/۱۹ ^f	۰/۹۷ ^{cd}	۲/۱۶ ^{d-h}	۱/۰ ^{a-b}	۰/۵۴ ^f	۱/۴۴ ^{c-g}	۰/۶۷ ^{a-e}	۰/۰ ^{a-b}	۰/۴۶ ^{b-f}	۰/۹۷ ^{cd}
۹ زودرس	۰/۶۸ ^{a-e}	۰/۸۴ ^{b-f}	۰/۳۸ ^{d-f}	۰/۷۶ ^{d-i}	۲/۰۳ ^{b-e}	۰/۷۲ ^{e-h}	۰/۹ ^{a-b}	۱/۹۸ ^{a-c}	۰/۶۸ ^{a-e}	۰/۰ ^{a-b}	۰/۸۴ ^{b-f}	۰/۷۶ ^{d-i}
۱۰ زودرس	۰/۱۰ ^{a-h}	۰/۱۴ ^{c-g}	۰/۳۹ ^{d-f}	۱/۳۹ ^{ab}	۲/۴۱ ^{c-g}	۰/۸۶ ^b	۰/۶۰ ^f	۱/۵۴ ^{b-f}	۰/۶۸ ^{a-e}	۰/۱۰ ^{a-h}	۰/۱۴ ^{c-g}	۰/۳۹ ^{d-f}
۱۴ زودرس	۰/۱۰ ^{d-g}	۰/۳۹ ^{d-f}	۰/۳۹ ^{d-f}	۰/۰ ^a	۳/۵۹ ^a	۱/۲۲ ^a	۰/۵۹ ^f	۲/۰ ^{a-b}	۰/۲۷ ^f	۰/۱۰ ^{d-g}	۰/۳۹ ^{d-f}	۰/۰ ^a
۱۶ زودرس	۰/۵۶ ^{c-e}	۰/۶۰ ^{a-e}	۰/۶۳ ^{ab}	۰/۹۴ ^{c-e}	۲/۰۷ ^{d-h}	۰/۵۰ ^{d-h}	۰/۶۳ ^{ef}	۱/۱۷ ^{e-h}	۰/۵۶ ^{c-e}	۰/۲۸ ^{de}	۰/۶۳ ^{ab}	۰/۹۴ ^{c-e}
۲ دیررس	۰/۱۹ ⁱ	۰/۹۲ ^{b-f}	۰/۴۹ ^{c-e}	۰/۴۸ ^{g-k}	۲/۵۵ ^{b-e}	۰/۴۴ ^{b-e}	۱/۱۶ ^{a-f}	۱/۷۲ ^{b-e}	۰/۴۳ ^{de}	۰/۱۹ ⁱ	۰/۴۹ ^{c-e}	۰/۴۸ ^{g-k}
۳ دیررس	۰/۱۰ ^{cd-h}	۰/۵۰ ^a	۰/۵۰ ^h	۰/۹۶ ^{ab}	۰/۷۴ ^{d-i}	۲/۷۶ ^{b-d}	۰/۱۹ ^h	۱/۴۴ ^{a-c}	۰/۹۳ ^{gh}	۰/۱۰ ^{cd-h}	۰/۵۰ ^a	۰/۹۶ ^{ab}
۶ دیررس	۰/۶۰ ^a	۰/۲۲ ^{c-g}	۰/۳۰ ^{d-f}	۰/۷۹ ^{d-h}	۱/۷۹ ^{d-h}	۱/۷ ^{f-i}	۰/۴۴ ^{d-h}	۱/۲۹ ^{a-c}	۰/۸۸ ^{a-d}	۰/۶۰ ^a	۰/۲۲ ^{c-g}	۰/۳۰ ^{d-f}
۷ دیررس	۰/۶۷ ^{gh}	۰/۱۱ ^{gh}	۰/۷۷ ^{bc}	۰/۴۸ ^{g-k}	۲/۵۷ ^{b-e}	۰/۴۷ ^{d-h}	۱/۱۶ ^{a-c}	۱/۸۹ ^{bc}	۰/۹۳ ^a	۰/۶۷ ^{gh}	۰/۱۱ ^{gh}	۰/۷۷ ^{bc}
۱۲ دیررس	۰/۱۵ ^{cd}	۰/۳۴ ^{a-d}	۰/۳۴ ^{d-f}	۰/۴۳ ^{i-k}	۲/۰ ^{a-b}	۰/۵۳ ^{c-g}	۱/۶۸ ^{ab}	۱/۷۳ ^{b-d}	۰/۵۰ ^{de}	۰/۱۵ ^{cd}	۰/۳۴ ^{a-d}	۰/۴۳ ^{i-k}
۱۵ دیررس	۰/۸۸ ^{c-h}	۰/۲۶ ^{ef}	۰/۴ ^{a-c}	۰/۸۱ ^{c-g}	۳/۱۵ ^{a-c}	۰/۷۶ ^{b-d}	۰/۹ ^{a-b}	۱/۰ ^{f-h}	۰/۶۶ ^{a-e}	۰/۸۸ ^{c-h}	۰/۲۶ ^{ef}	۰/۴ ^{a-c}
۲۰ دیررس	۰/۱۳۳ ^{de}	۰/۷۱ ^{ab}	۰/۳۷ ^{d-f}	۰/۷۹ ^{d-h}	۳/۲۶ ^{ab}	۰/۳۸ ^{gh}	۰/۹۶ ^{b-f}	۱/۸۰ ^{bc}	۰/۴۷ ^{ef}	۰/۱۳۳ ^{de}	۰/۷۱ ^{ab}	۰/۳۷ ^{d-f}
۲۵ دیررس	۰/۷۴ ^{gh}	۰/۸۸ ^{d-g}	۰/۷۵ ^{bc}	۱/۵۷ ^a	۱/۱۳ ⁱ	۰/۸۲ ^{bc}	۱/۷۷ ^a	۲/۰ ^{a-b}	۰/۹۲ ^{ab}	۰/۷۴ ^{gh}	۰/۷۵ ^{bc}	۰/۸۸ ^{d-g}

در هر ستون و برای هر تنش تیمارهایی که میانگین‌های آنها حادقل در یک حرف مشترک‌اند اختلاف معنی‌داری با یکدیگر ندارند (LSD = ۰/۰/۰/۵).

در بین ژنوتیپ‌های مورد مطالعه، ژنوتیپ ۲ دیررس به عنوان ژنوتیپ متحمل به تنش خشکی و ژنوتیپ ۲ زودرس حساس به تنش خشکی شناخته شدند که می‌توان در مطالعات اصلاحی بعدی از آنها استفاده کرد. نتایج آزمایش نیز حاکی از آن است که در شرایط تنش خشکی شدید گیاهان متحمل به تنش خشکی ابتدا بر سیستم ریشه‌ای خود تکیه می‌کنند که این ویژگی به افزایش بقا و عملکرد آنها در بلندمدت و در شرایط مزرعه منجر خواهد شد.

نتیجه‌گیری کلی

نتایج پژوهش حاضر نشان داد که تنوع ژنتیکی زیادی از نظر ویژگی‌های سیستم ریشه‌ای و آنزیم‌های آنتاکسیدان در این ژنوتیپ‌های فسکیوی بلند وجود دارد، که بیانگر مؤثر بودن انتخاب در گزینش این صفات جهت بهبود تحمل به خشکی است. طول ریشه، سطح ریشه، وزن خشک ریشه و آنزیم کاتالاز می‌توانند معیار انتخاب ژنوتیپ‌های متحمل به تنش خشکی باشند. بر این اساس

REFERENCES

- Allen, R.G., Pereira, L.S., Raes, D. & Smith, M. (1998). Crop evapotranspiration guidelines for computing crop water requirements. *FAO Irrigation and drainage*. pp 300.
- Alscher, R. G., Erturk, N. & Heath, L. S. (2002). Role of super oxid dismutase (SOD) in controlling oxidative stress in plant. *Journal of Experimental Botany*, 153, 1331-1341.
- Asseng, S., Ritchie, J. T., Smucker A. J. M. & Robertson, M. J. (1998). Root growth and water uptake during water deficit and recovering in wheat. *Plant and Soil*, 201, 265-273.

4. Bonos, S. A., Rush, D., Hignight, K. & Meyer, W. A. (2004). Selection for deep root production in tall fescue and perennial ryegrass. *Crop Science*, 44, 1770-1775.
5. Breusegem, F. V., Vranova, E., Dat, F. & Dirk, I. (2002). The role of active oxygen species in plant signal transduction. *Plant Science*, 161, 405-414.
6. Burton, G. W., Devane, E. H. & Carter, R. L. (1954). Root penetration, distribution and activity in southern grasses measured by yield, drought symptoms and P32 uptake. *Agronomy Journal*, 46, 229-233.
7. Carrow, R. N. & Duncan, R. R. (2003). Improving drought resistance and persistence in turf-type tall fescue. *Crop Science*, 43, 978-984.
8. Caruso, C., Chilosi, G., Caporale, C., Leonardo, L., Bertini, L., Margo, P. & Buonocore, V. (1999). Induction of pathogenesis-related proteins in germinating wheat seeds infected with fusarium culmorum. *Plant Science*, 140, 87-97.
9. Chaitanya, K. V., Sundar, D., Masilamani, S. & Reddy, A. R. C. (2002). Variation in heat stress induced antioxidant enzyme activities among three Mulberry cultivars. *Plant Growth Regulation*, 36, 175-180.
10. Change, B. & Maehly, A. C. (1955). Assay of catalases and peroxidase. *Methods Enzymol*, 2, 764-775.
11. Chaudiere, J. R. (1999). Intracellular antioxidants: From chemical to biochemical mechanisms. *Food and Chemical Toxicology*, 37, 949-962.
12. Chaves, M. M. & Oliveira, M. M. (2004). Mechanisms underlying plant resilience to water deficits: Prospects for water-saving agriculture. *Journal of Experimental Botany*, 55, 2365-2384.
13. DaCosta, M. & Huang, B. (2007). Changes in antioxidant enzyme activities and lipid peroxidation for Bentgrass species in response to drought stress. *Journal of the American Society for Horticultural Science*, 132, 319-326.
14. Dacosta, M. & Huang, B. (2006). Osmotic adjustment associated with variation in bentgrass tolerance to drought stress. *Journal of the American Society for Horticultural Science*, 131, 338-344.
15. Ebrahimiyan, M., Majidi, M. M., Mirlohi, A. & Gheysari, M. (2012). Drought tolerance indices in a tall fescue population and its polycross progenies. *Crop and Pasture Science*, 63, 360-369.
16. Ervin, E.H. & Koski, A.J. (1998). Drought avoidance aspects and crop coefficients of Kentucky bluegrass and tall fescue turfs in semiarid west. *Crop Science*, 38, 788-795.
17. Farre, L. & Faci, J. M. (2009). Deficit irrigation in maze for reducing agricultural water use in a mediterranean environment. *Agricultural Water Management*, 96, 383-394.
18. Fu, J. & Huang, B. (2001). Involvement of antioxidants and lipid peroxidation in the adaptation of two cool-season grasses to localized drought stress. *Environmental and Experimental Botany*, 45, 105-114.
19. Galkovskyi, T., Mileyko, Y., Bucksch, A., Moore, B., Symonova, O., Price, C.A., Topp, C.N., Iyer-Pascuzzi, A.S., Zurek, P.R., Fang, S., Harer, J., Benfey, P.N. & Weitz, J.S. (2012). GiA Roots: software for the high-throughput analysis of plant root system architecture. *BMC Plant Biology*, 12, 116.
20. Gheysari, M., Mirlatifi, S. M., Bannayan, M., Homaei, M. & Hoogenboom, G. (2009). Interaction of water and nitrogen on maize grown for silage. *Agricultural Water Management*, 96, 809-821.
21. Guo G., Liu SH, Q., An, S., Ren, X. & Lin, R. N. (2002). Effect of limited water supply on root growth and development of winter wheat and the characters of soil moisture use before planting. *Journal of Applied Meteorology*, 13, 621-626.
22. Herzog, V. & Fahimi, H. (1973). Determination of the activity of peroxidase. *Analytical Biochemistry*, 55, 554-562.
23. Hojati, M., Modarres Sanavy, S.M.A., Karimi, M. & Ghanati, F. (2011). Responses of growth and antioxidant systems in *Carthamus tinctorius* L. under water deficit stress. *Acta Physiologiae Plantarum*, 33, 105-112.
24. Huang, B., Duncan, R. R. & Carrow, R. N. (1997). Drought resistance mechanisms of seven warm season turfgrasses under surface soil drying: I. shoot response. *Crop Science*, 37, 1857-1863.
25. Huang, B. & Hongwen, G. (2000). Root physiological characteristics association with drought resistance in tall fescue cultivars. *Crop Science*, 40, 196-203.
26. Jabari, F., Ahmadi, A., Poustini, K. & Alizadeh, H. (2006). Evaluation of some antioxidant enzyme effects on chlorophyll and cell membrane in drought susceptible and tolerant wheat varieties. *Iranian Journal of Agricultural Science*, 37, 307-316.
27. Jafari, A., Connolly, V., Frolich A. & Walsh, E. K. (2003). A note on estimation of quality in perennial ryegrass by near infraed spectroscopy. *Irish Journal of Agricultural and Food Research*, 42, 293-299.
28. Jagtap, V. & Bharagava, S. (1995). Variation in antioxidant metabolism of drought tolerant and susceptible varieties of *Sorghum biolcolor* L. *Agricultural and Biological Chemistry*, 65, 445-454.
29. Jiang, M. & Zhang, J. (2001). Effect of abscisic acid on active oxygen species, antioxidative offence system and oxidative damage in leaves of maize seedlings. *Plant Cell Physiology*, 42, 1265-1273.
30. Jiang, Y. & Huang, B. (2001). Drought and heat stress injury to two cool-season turfgrass in relation to antioxidant metabolism and lipid peroxidation. *Crop Science*, 41, 436-442.
31. Karcher, D. E., Richardson, M. D. Hignight, K. & Rush, D. (2008). Drought tolerance of tall fescue populations selected for high root/shoot ratios and summer survival. *Crop Science*, 48, 771-777.

32. Karcher, D., Richardson, M. & Landreth, J. (2007). Drought tolerance of tall fescue and bluegrass cultivars. *Agricultural Experiment Station Research Series*, 557, 17-20.
33. Khalid, K. H. A. (2006). Influence of water stress on growth, essential oil and chemical composition of herbs (*Ocimum* sp.). *International Agrophysics*, 20, 289-296.
34. Khazaie, H. R. & Kafi, M. (2003). Effect of drought stress on root growth and dry matter partitioning between roots and shoots of winter wheat. *Iranian Journal Filed Crops Research*, 1, 33-43.
35. Kmoch H. G., Raming, R. E., Fox, R. L. & Koelher, F. E. (1957). Root development of winter wheat as influenced by soil moisture and nitrogen fertilization. *Agronomy Journal*, 49, 20-85.
36. Li-Ping, B., Fang-Gang, S., Ti-Da, G., Zhao-Hui, S., Yin-Yan, L. & Guang-Sheng, Z. (2006). Effect of soil drought stress on leaf water status, membrane premeability and enzyme antioxidant system of maize. *Pedosphere*, 16, 326-332.
37. Maria, C., Esther, R., Gonzalez, M., Minchin, F. R., Judith, K., Arrese-Igor, W. C., Ramos, J. & Becana, M. (2002). Effects of water stress on antioxidant enzymes of leaves and nodules of transgenic alfalfa over expressing superoxide dismutases. *Physiologia Plantarum*, 115, 531-540.
38. Mehrvarz, S., Chaichi, M. R., Hashemi, M. & Parsinejad, M. (2013). Yield and Growth Response of Maize (*Zea Mays* L.S.C. 704) to Surfactant under Deficit Irrigation. *Internatonal Journal of Plant and Animal Science*, 1, 42-48.
39. Mittler, R. (2002). Oxidative stress, antioxidants and stress tolerance. *Trends in Plant Science*, 7, 405-410.
40. Nakano, Y. & Asada, K. (1987). Purification of ascorbate peroxidase in Spanish chloroplast, its inactivation in ascorbate depleted medium and reactivation by monodehydro ascorbate radical. *Plant and Cell Physiology*, 28, 131-140.
41. Oliver, S. & Barber, S. A. (1966). An evaluation of the mechanisms governing the supply of Ca and Na to soybean roots. *Soil Science Society of America*, 30, 82-84.
42. Pande, H. & Singh, J. S. (1981). Comparative biomass and water status of four range grasses growth under two soil water conditions. *Journal of Range Management*, 34, 480-484.
43. Pirnajmedin, F., Majidi, M. M. & Kiani, R. (2013). Evaluation of forage yield and root characteristics of tall fescue (*Festuca arundinacea*) genotypes under drought stress. *Journal of Plant Process and Function*, 2, 1-9. (In Farsi).
44. Polle, A. & Rennenberg, H. (1993). Significance of antioxidants in plant adaptation to environmental stress. In: T. Mansfield, L. Fowden, F. Stoddar (Eds.), Chapman and Hall, London. *Plant Adaptation to Environmental Stress*. (pp.263-273).
45. Reddy, A.R., Chaitanya, K.V. & Vivekanandan, M. (2004). Drought induced responses of photosynthesis and antioxidant metabolism in higher plants. *Journal of Plant Physiology*, 161, 1189-1202.
46. Rylski, I., Nothman, J. & Spiegelman, M. (1979). Effect of soil temperature on the development of young eggplants. *Experimental Agriculture*, 12, 273-278.
47. Sairam, R. K., Deshmukh, P. S. & Shukla, D. S. (1997). Tolerance of drought and temperature stress in relation to increase antioxidant enzyme activity in wheat. *Journal Agronomy Crop Science*, 178, 171-178.
48. Sairam, R. K., Deshmukh, P. S., Shukla, D. S. & Ram, S. (1990). Metabolic activity and grain yield under moisture stress in wheat genotypes. *Indian Journal of Plant Physiology*, 33, 226-231.
49. Siosemardeh, A. (2002). *Yield and growth physiological aspects in relation to drought tolerance of wheat varieties*. Ph. D. thesis. Agronomy and plant breeding faculty. Tehran University.
50. Srivalli, B., Sharma, G. & Khannachopra, R. (2003). Antioxidative defense system in an upland rice cultivar subjected to increasing intensity of water stress followed by recovery. *Plant Physiology*, 119, 503-512.
51. Tatari, M., Futouhi, R., Etemadi, N., Ahadi, A. M. & Mousavi, A. (2012). Analysis of antioxidant enzyme activity, lipid peroxidation and prolin content of *Agropyron desertorum* under drought stress. *Horticulture Biology and Environment*, 3, 9-24.
52. Torbert, H. A., Edwards, J. H. & Pedersen, J. F. (1990). Fescues with large roots are drought tolerance. *Applied Agricultural Research*, 5, 181-187.
53. Troughton, A. & Whittington, W. J. (1968). The significance of genetic variation in root systems. In: Root Growth, W.J., Whittington (Ed.). In: Proceeding of the 15th Easter School in Agricultural Science, University of Nottingham, England, pp. 296-301.
54. Vejovie-Jovano, S. D., Pignocchi, C., Noctar, G. & Foyer, C. H. (2001). Low ascorbic acid in the Vtcl mutant of Arabidopsis is associated with decreased growth and inter cellular redistribution of antioxidant system. *Plant Physiology*, 127, 426-435.
55. Wang, H., Siopongco, J., Wade, L. & Yamauchi, A. (2009). Fractal analysis on root systems of rice plants in response to drought stress. *Environmental and Experimental Botany*, 65, 338-344.
56. Willekens, H., Inze, D., Montagu, M. V. & Camp, W. V. (1995). Catalase in plants. *Molecular Breeding*, 1, 207-228.
57. Zhenhu, L., Kui Ying, L. & Aifeng, Z. (2001). Review on study of drought resistance of turfgrass. *Crop Science*, 23, 66-68.